

3. วัตถุประสงค์

- 3.1. เพื่อระบุ (identify) และวิเคราะห์ (analyze) โครงสร้างของ lipid A จากเชื้อ *A. baumannii* ด้วย colistin ที่แยกได้จากสิ่งส่งตรวจ เพื่อระบุโครงสร้างที่จำเพาะในการต้านยา
- 3.2. เพื่อระบุและจำแนกการกลยุทธ์และการแสดงออกของยีน *pmrCAB* ของเชื้อ *A. buamannii* ที่ต่อต้าน colistin
- 3.3. เพื่อทดสอบการเหนี่ยวนำให้เกิดการต้านยา (inducible resistance) ของเชื้อ *A. buamannii* โดย colistin

4. วิธีการทดลอง

สายพันธุ์ของเชื้อและการสภาวะในการเจริญ

เชื้อ *A. baumannii* ที่จะใช้การทดลองนั้นจะได้จากการแยกเชื้อจากสิ่งส่งตรวจต่างๆ จำนวน 200 สายพันธุ์จาก เลือด เสมหะ ปัสสาวะ และอื่นๆ ที่นำส่งห้องปฏิบัติการภาควิชาจุลชีววิทยา คณะแพทยศาสตร์ศิริราชพยาบาล ในระหว่างปี พ.ศ. 2554-2555 *A. baumannii* สายพันธุ์ ATCC 19606 ใช้เป็นสายพันธุ์ควบคุมในการทำ PCR *Pseudomonas aeruginosa* สายพันธุ์ ATCC 27853 และ *Escherichia coli* สายพันธุ์ ATCC 25922 ใช้เป็นสายพันธุ์ควบคุมในการทดสอบความไวต่อยาต้านจุลชีพ

เชื้อที่เก็บได้ทั้งหมดถูกเพิ่มจำนวนใน Lauria-Bertani (LB) medium การทดสอบความไวต่อยาทำใน Cation-adjusted Mueller-Hinton broth (CAMHB) และการทดสอบการการเหนี่ยวนำให้เกิดการต้านยา ทำใน *Acinetobacter* minimal medium

การจำแนกสายพันธุ์ของเชื้อโดยวิธี random amplification of polymorphic DNA (RAPD)

ใช้ primer ที่มีลำดับเบส CCTTGACGCA โดยมี initial denaturation ที่อุณหภูมิ 94°C 10 นาที แล้วตามด้วยวงรอบที่ประกอบด้วย deaunaturalization ที่ 94°C 10 วินาที annealing ที่ 36°C 30 วินาที และ extension ที่ 72°C 1 นาที เป็นจำนวน 40 วงรอบ แล้วปิดท้ายด้วย final extension ที่ 72°C 2 นาที ผลที่ได้วิเคราะห์โดยใช้ซอฟต์แวร์ PyElph โดยใช้ Dice coefficient และ Unweighted Pair Group Method with Arithmetic mean (UPGMA) algorithm

การทำทดสอบการต้านยาของเชื้อโดยการหาค่า minimal inhibitory concentration (MIC) ต่อ colistin

โดยใช้วิธี broth microdilution และการแปลผลตามที่กำหนดไว้ใน Clinical Laboratory Standard Institute (CLSI) 2011 guideline

การสกัด lipid A จากเชื้อด้วยวิธี Carloff microextraction

โดยย่อคือเริ่มจากการใช้เซลล์แห้ง 10 มิลลิกรัม แล้วสกัดโดยใช้ isobutyric acid/1M ammonium hydroxide (5:3, vol:vol) ตั้งทิ้งไว้ที่อุณหภูมิ 100°C เป็นเวลา 2 ชั่วโมง แล้วจึงนำมาบีบแล้วแยกส่วน

ที่เป็นน้ำดันบน แล้วจึงเจือจากด้วยน้ำและทำไปทำให้แห้งด้วยเครื่อง lyophilizer ตัวอย่าง lipid A ทั้งหมดถูกนำส่งไปวิเคราะห์ด้วย matrix-assisted laser desorption/ionization - time of flight (MALDI-TOF) mass spectrometry ณ University of Maryland, Baltimore ประเทศสหรัฐอเมริกา

การเพิ่มจำนวนยีน *pmrCAB* ด้วย PCR และหาลำดับเบสของยีน

เริ่มจากการเพิ่มจำนวนของยีน *pmrCAB* โดยวิธี PCR ด้วย primer ที่จำเพาะต่อยีน จากนั้นจึงทำไปหาลำดับเบสของยีน

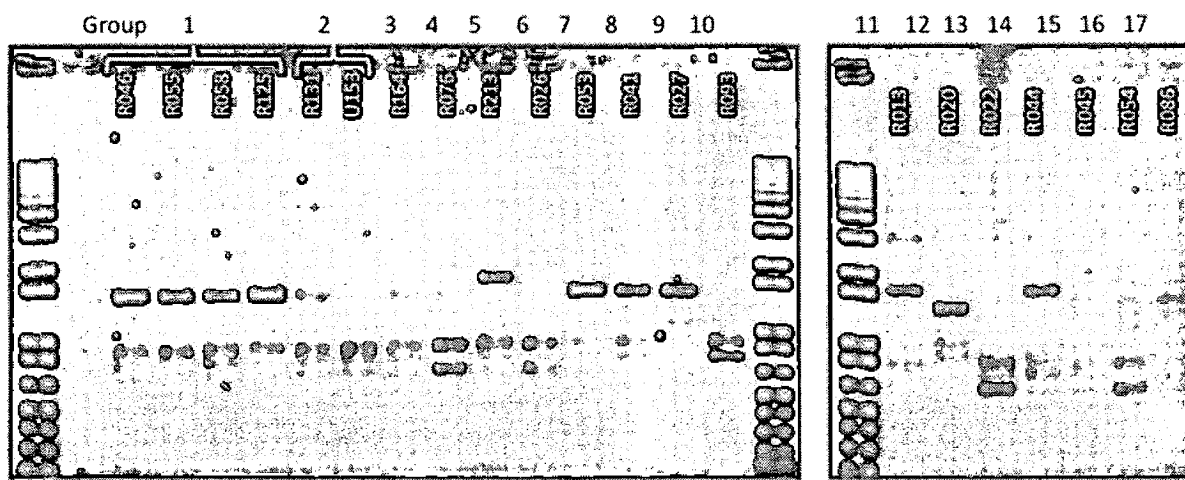
การทดสอบการกระตุ้นการดีอียาของเชื้อ

นำเชื้อ *A. baumannii* สายพันธุ์มาเลี้ยงใน Acinetobacter minimal media เป็นเวลาหนึ่งคืน หลังจากนั้นวัดค่า MIC ของเชื้อ รวมทั้งทำการสกัด lipid A และหาลำดับเบสของ *pmrCAB* ตามวิธีข้างต้น จากนั้นจึงทำการ subculture ในอาหารเลี้ยงเชื้อที่มีความเข้มข้นของ colistin ต่ำกว่าค่า MIC จากจึงทำการทดลองช้าๆทุกวันจนกระทั่งเชื้อมีค่า MIC สูงกว่าค่ามาตรฐานซึ่งได้แก่ 2 µg/ml จากนั้นจึงเปลี่ยนอาหารเลี้ยงมากเป็นชนิดที่ไม่มียาจันกระตุ้นค่า MIC ของเชื้อลดลงเท่าเดิม

5. ผลการทดลอง

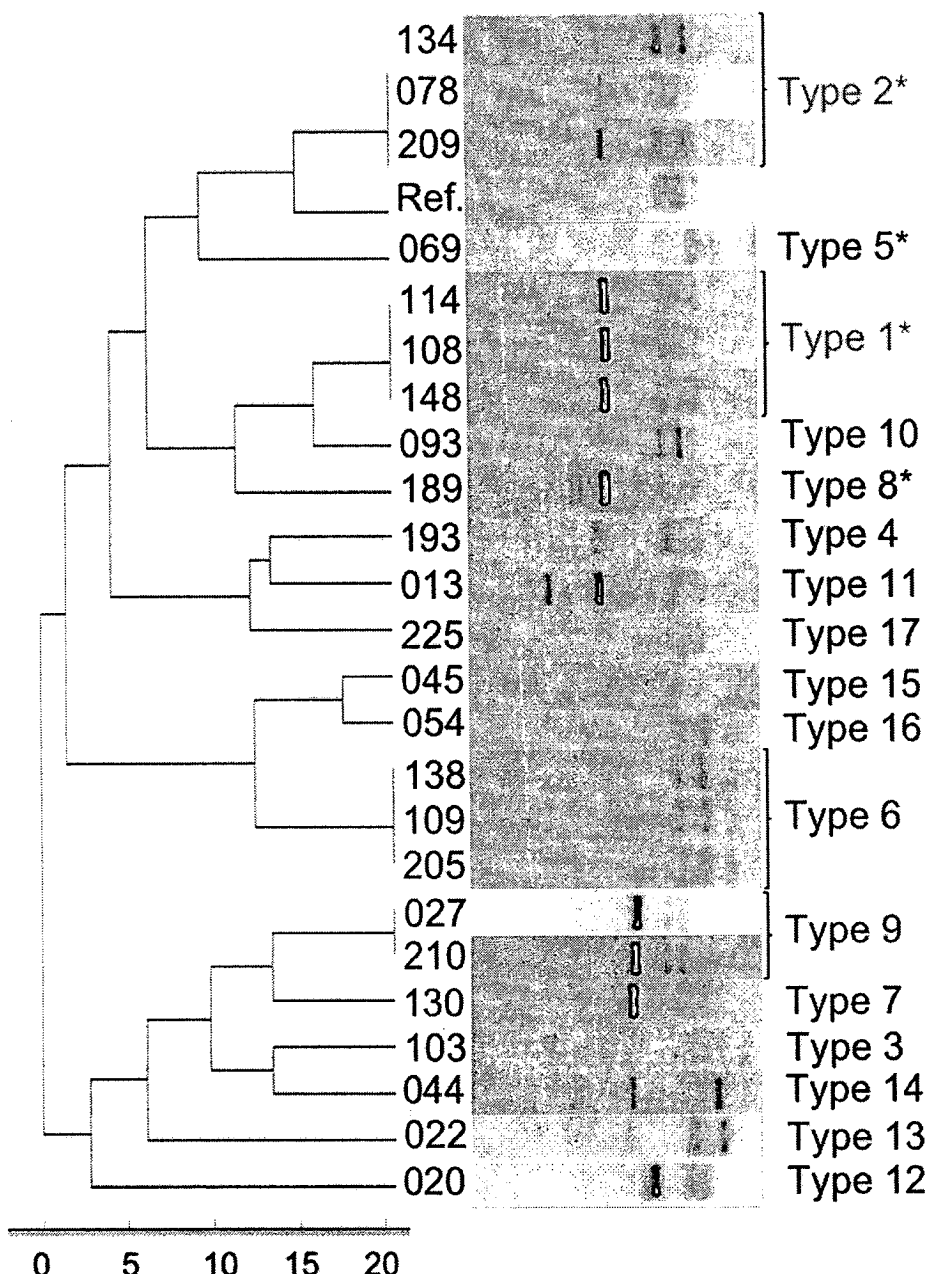
สายพันธุ์ของเชื้อ *A. baumannii* ที่ดีอียา colistin ในโรงพยาบาลศิริราช

จากเชื้อที่แยกได้จากสิ่งส่งตรวจจำนวน 200 สายพันธุ์ เมื่อนำมาจำแนกด้วยวิธี RAPD และสามารถจำแนกได้เป็น 17 กลุ่ม โดยที่กลุ่มที่ 1 และกลุ่มที่ 2 นั้นมีสมาชิกมากที่สุดได้แก่ 133 และ 30 สายพันธุ์ ตามลำดับ ซึ่งทั้งสองกลุ่มนี้อาจเป็นเชื้อประจำตัวในโรงพยาบาล นอกจากนั้นแล้วมีอีก 8 กลุ่มซึ่งมีจำนวนสมาชิก 2-6 สายพันธุ์ และยังมีอีก 7 กลุ่มซึ่งมีสมาชิกกลุ่มสายพันธุ์เดียว (รูปที่ 1)



รูปที่ 1 การจำแนกสายพันธุ์ของเชื้อ *A. baumannii* ที่แยกได้ในรพ.ศิริราชด้วยวิธี RAPD

เมื่อนำผลที่ได้มารวบรวมความสัมพันธ์ระหว่างสายพันธุ์ด้วยการสร้าง денโตรแกรมพบว่าเชื้อทั้ง 17 กลุ่ม เป็นสมาชิกของเชื้อ 2 กลุ่ม (cluster) ใหญ่ๆ ดังรูปที่ 2



รูปที่ 2 เดโนโกราฟแสดงความสัมพันธ์ของเชื้อ *A. baumannii* ทั้ง 17 กลุ่มที่จำแนกด้วยวิธี RAPD สีแดงหมายถึงกลุ่มหลักที่มีสมาชิกจำนวนมาก เครื่องหมาย * แสดงกลุ่มที่มีสายพันธุ์ดื้อยา colistin

ค่า MIC ของเชื้อ *A. baumannii* สายพันธุ์ที่ดื้อยา colistin

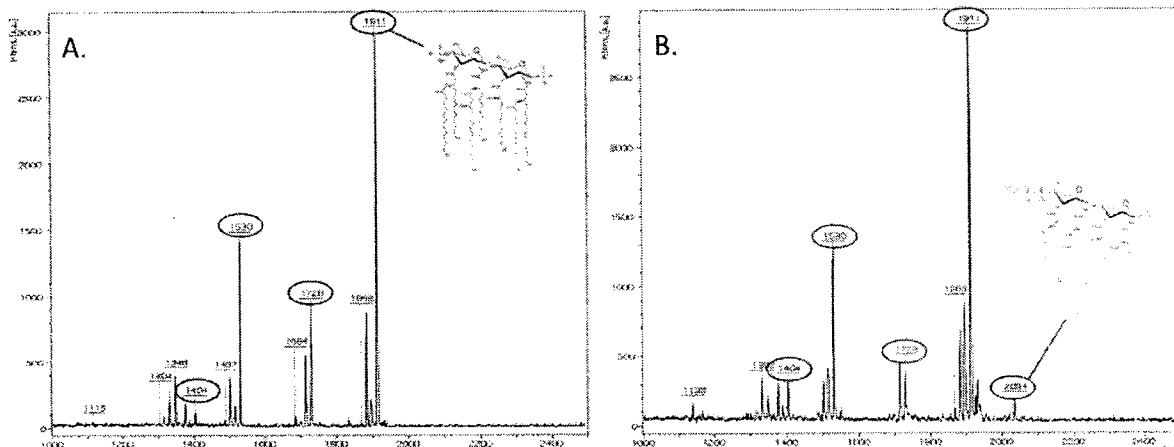
พบว่าการดื้อยา colistin ของเชื้อ *A. baumannii* มีความหลากหลายโดยมีค่า MIC ตั้งแต่ 4 จนถึง $>128 \mu\text{g/ml}$ ส่วนมากของสายพันธุ์ที่ดื้อยาพบอยู่ในกลุ่ม 1 (ตารางที่ 1) ซึ่งพบว่าแม้แต่ในกลุ่มพันธุ์กรรมเดียว กันก็มีระดับการดื้อยาที่หลากหลาย ซึ่งบ่งบอกลุ่มประชากรย่อยของเชื้อ มีกลไกพันธุ์เฉพาะที่ท่องเที่ยวกับ การใช้ยาในบริเวณที่มีเชื้อออยู่

RAPD type	Resistance categories	MIC ($\mu\text{g/ml}$)	Isolates
I	High level	> 128	2, 6, 7, 8
	Intermediate level	32-64	1, 3, 4, R017
	Low level	4-8	R004, , R055, R090, R188
II	Low level	8	R088
	Low level	4	R069
VII	Low level	4	R041

ตารางที่ 1 ค่า MIC ของเชื้อ *A. baumannii* สายพันธุ์ที่ต้าน colistin

การดัดแปลงโครงสร้างของ lipid A ของเชื้อ *A. baumannii* ที่ต้าน colistin

พบว่าในเชื้อ 4 สายพันธุ์ที่มีการต้าน colistin มีการเปลี่ยนแปลงโครงสร้างของ lipid A ตามที่เคยมีรายงานไว้ได้แก่ เกิดเติมหมู่ phosphoethanolamine เข้ากับโมเลกุลของ lipid A (รูปที่ 3)



รูปที่ 3 การวิเคราะห์ด้วยวิธี MALDI-TOF MS แสดงโครงสร้างปกติของ lipid A ของเชื้อ *A. baumannii* (รูป 2A) และโครงสร้างที่มีการเติมหมู่ phosphoethanolamine ซึ่งทำให้เกิดการต้าน colistin (รูปที่ 2B)

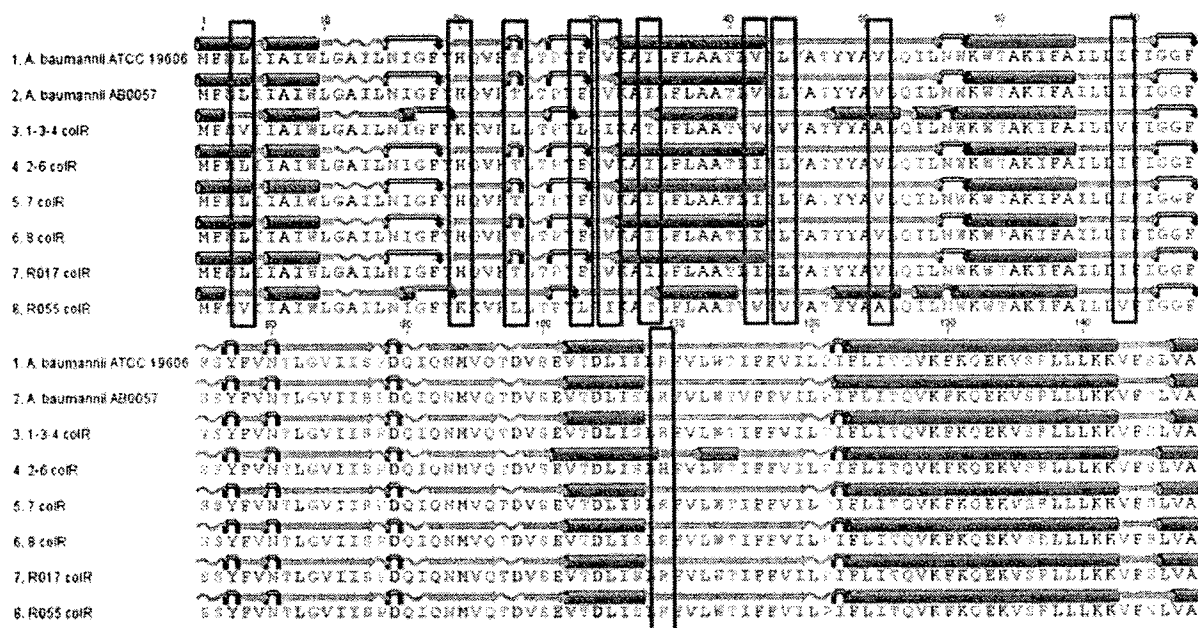
การกลยุพันธุ์ในกลุ่มยืน *pmrCAB* ของเชื้อ *A. baumannii* ที่ต้าน colistin

กลุ่มยืน *pmrCAB* เป็นกลุ่มยืนที่กำหนดรหัสของเอนไซม์ที่ใช้ในการเติมหมู่ phosphoethanolamine ใน lipid A ดังนั้นการกลยุพันธุ์ในกลุ่มยืนนี้อาจมีผลต่อการต้าน colistin ได้ จากการหาลำดับเบสของกลุ่มยืนนี้ในเชื้อสายพันธุ์ที่ต้าน colistin พบว่ามี กลยุพันธุ์จำนวนมากในกลุ่มยืนนี้โดยเฉพาะอย่างยิ่งในยืน *pmrB* ซึ่งพบว่าการกลยุพันธุ์ของเบสตำแหน่งเดียวกับผลต่อระดับการต้าน colistin (ตารางที่ 2)

Isolate	<i>pmrC</i>		<i>pmrA</i>		<i>pmrB</i>		MIC ($\mu\text{g}/\text{ml}$)	
	S	NS	S	NS	S	NS	S	NS
1, 3, 4	117	65	65	5	105	25	32	
R055	117	65	65	5	105	24	8	
2, 6	13	5	4	-	7	3		
7	13	4	4	-	8	4	>128	
8	13	4	4	-	7	3		
R017	13	4	4	-	8	2	32	

ตารางที่ 2 การกลยุทธ์ในกลุ่มยืน *pmrCAB* ของเชื้อสายพันธุ์ที่ดีอ่าย colistin

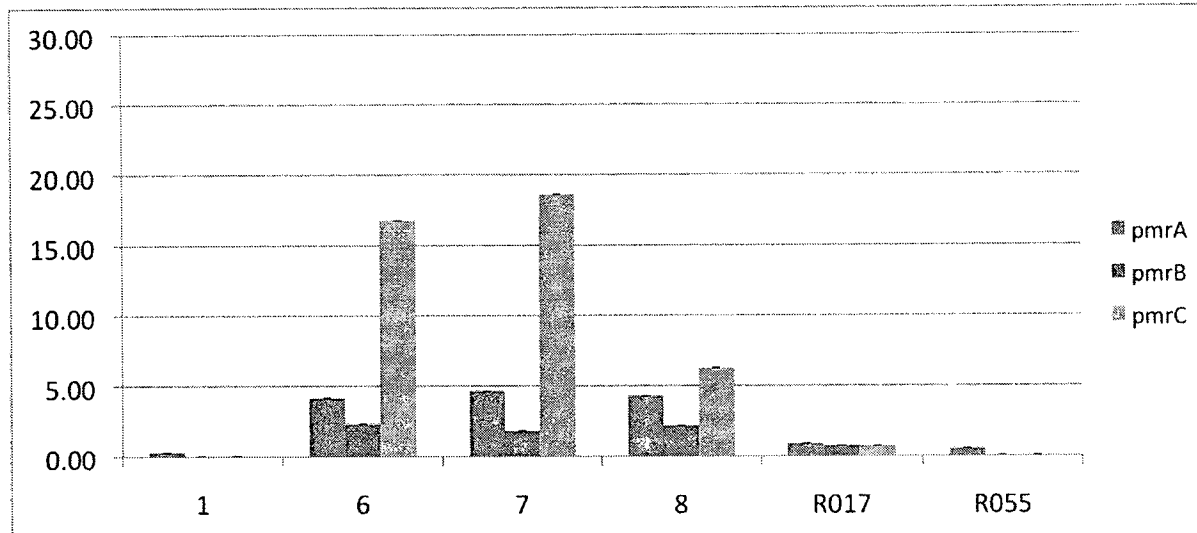
การกลยุทธ์ใน DNA บางค่าແணงมีผลทำให้เกิดการเปลี่ยนแปลงลำดับของกรดอะมิโนในโปรตีนได้ (non-synonymous change) (รูปที่ 4)



รูปที่ 4 การกลยุทธ์ของลำดับกรดอะมิโนในโปรตีน PmrB

การแสดงออกของกลุ่มยืน *pmrCAB* ของเชื้อ *A. baumannii* ที่ดีอ่าย colistin

จากการทดสอบการแสดงออกของกลุ่มยืน *pmrCAB* ในสายพันธุ์ที่ดีอ่าย colistin ด้วยวิธี real time RT-PCR พบว่ามีการแสดงออกของ ยืนมากขึ้นในสายพันธุ์ที่มี MIC > 128 $\mu\text{g}/\text{ml}$ ซึ่งตรงกับผลการวิเคราะห์โครงสร้างของ lipid A ที่มีการเติมหมุน phosphoethanolamine (รูปที่ 5)



รูปที่ 5 การแสดงออกของกลุ่มยืน pmrCAB จากวิธี real time RT-PCR

การกระตุ้นการต่อยา colistin ของเชื้อ

เมื่อนำเชื้อ *A. baumannii* สายพันธุ์มาตรฐานซึ่งไวต่อยา colistin ($MIC = 2 \mu\text{g}/\text{ml}$) มาเลี้ยงในอาหาร เลี้ยงเชื้อที่มีความเข้มข้นของ colistin ในระดับที่ฆ่าเชื้อไม่ได้ (sub-MIC concentration) พบว่าในเชื้อมี MIC สูง กล่าวคือเชื้อมีการปรับตัวให้ต่อยาสูงขึ้น นอกจากนั้นแล้ว ระหว่างการเลี้ยงเชื้อมีเชื้อสองกลุ่ม เกิดขึ้น ดังแสดงในตารางที่ 3

- เชื้อกลุ่มที่หนึ่ง มี MIC เพิ่มขึ้นจนถึง $4 \mu\text{g}/\text{ml}$ ในวันที่ 5 และมี MIC ลดลงจนปกติหลังจากเลี้ยงในอาหารเลี้ยงเชื้อที่ไม่มียา เชื้อกลุ่มนี้มีขนาดโคลนีปกติ
- เชื้อกลุ่มที่สอง มี MIC เพิ่มขึ้นจนถึง $8 \mu\text{g}/\text{ml}$ ในวันที่ 5 และมี MIC ลดลงจนถึง $4 \mu\text{g}/\text{ml}$ จากเลี้ยงในอาหารเลี้ยงเชื้อที่ไม่มียาแต่ก็ไม่ลดลงจนปกติ เชื้อกลุ่มนี้มีขนาดโคลนีเล็กกว่าปกติ

ไม่พบว่าเชื้อหั้งสองกลุ่มมีการกลายพันธุ์ในกลุ่มยืน pmrCAB หรือมีการตัดแปลงโครงสร้างของ lipid A

Day(s)	MICs values	
	Big colony	Small colony
Day 0		$2 \mu\text{g}/\text{mL}$
Day 5	$4 \mu\text{g}/\text{mL}$	$8 \mu\text{g}/\text{mL}$
(Antibiotic removed)		
Day 8	$2 \mu\text{g}/\text{mL}$	$4 \mu\text{g}/\text{mL}$
Day 10	$2 \mu\text{g}/\text{mL}$	$4 \mu\text{g}/\text{mL}$
Day 15	$2 \mu\text{g}/\text{mL}$	$4 \mu\text{g}/\text{mL}$

ตารางที่ 3 แสดงผล MIC ของเชื้อ *A. baumannii* สายพันธุ์มาตรฐานที่เลี้ยงในอาหารเลี้ยงเชื้อที่มีความเข้มข้นของ colistin $1 \mu\text{g}/\text{ml}$ ในวันที่ 0-5 และ $0 \mu\text{g}/\text{ml}$ ในวันที่เหลือ

6. สรุปและวิจารณ์ผลการทดลอง และขอเสนอแนะสำหรับงานวิจัยในอนาคต

การติดเชื้อ *A. baumannii* ภายในโรงพยาบาลกำลังเป็นปัญหาสาธารณสุขที่สำคัญมากที่สุดปัญหาหนึ่งของประเทศไทย เนื่องจากเชื้อมีความคงทนอยู่ในสภาพแวดล้อมได้นาน หรือมีอัตราการติดอย่างสูง โดยพบว่าที่เชื้อสายพันธุ์ที่ติดอย่างปฏิชีวนะทุกกลุ่มแล้ว การรักษาหลักในปัจจุบันคือการใช้ยา colistin ซึ่งเป็นยาเก่าแต่ได้ถูกนำกลับใช้ใหม่ เพราะเชื้อ *A. baumannii* ส่วนใหญ่ยังไวต่อยา ต่อไปเริ่มพัฒนาสายพันธุ์ที่มีการต้าน colistin บางกลุ่ม โดยอัตราการติดอย่างเพิ่มขึ้นเรื่อยๆ ทุกปีอย่างน่าตกใจอีกด้วย ดังนั้นการศึกษาถึงกลไกการต้านยา colistin ของเชื้อจึงมีความสำคัญ ในอดีตนี้เชื่อว่ากลไกหลักการต้านยาของเชื้อนั้นเกิดจาก การตัดแปลงโครงสร้างของ lipid A ซึ่งเป็นเป้าหมายในการจับของยา ยังผลทำให้ยาจับไม่ได้และทำให้เกิดการต้านยาในที่สุด การศึกษานี้จึงมุ่งที่จะศึกษาว่าเชื้อสายพันธุ์ที่ติดอย่างต้องด้วยกลไกมีความมีการรายงานนี้หรือไม่ หรือมีกลไกอื่นๆ ในการต้านยา

จากเชื้อที่เก็บได้ทั้งหมด 200 สายพันธุ์ นับพบร่วมกับความสามารถจำแนกได้เป็นกลุ่มพันธุกรรมทั้งหมด 17 กลุ่ม โดยส่วนใหญ่เชื้อจะอยู่ในกลุ่มพันธุกรรมที่ 1 และ 2 ซึ่งบ่งถึงการมีอยู่ของเชื้อในโรงพยาบาลจนกว่ายังเป็นเชื้อประจำถิ่น จึงทำให้เชื้อส่วนมากที่พบติดเชื้อในผู้ป่วยเป็นเชื้อสายพันธุ์เดิม อย่างไรก็ตาม พบร่วมกับกลุ่มนี้มีระดับการต้านยา colistin ไม่เท่ากัน ซึ่งบ่งว่าอาจมีกลไกพันธุ์อย่างเป็นเอกเทศในยีนที่เกี่ยวข้องกับการต้านยาถึงแม้ว่าจะอยู่ในกลุ่มพันธุกรรมเดียวกันก็ตาม ขึ้นกับว่ามีการใช้ยา colistin หรือไม่อย่างไรในบริเวณที่มีเชื้อสายพันธุ์นั้นๆ อยู่ ซึ่งเข้าได้กับรายงานในต่างประเทศว่าเชื้อที่ต้านยา colistin นั้นมักเจริญได้ไม่ดีเมื่อเทียบกับเชื้อปกติ จึงทำให้มักไม่พบเชื้อสายพันธุ์ที่ต้านยา colistin กลยุทธ์เป็นเชื้อประจำถิ่นถ้วนในโรงพยาบาล แต่มักพบการระบาดเป็นครั้งคราวมากกว่า

ในกลุ่มเชื้อที่ต้านยา colistin พบร่วมทั้งเชื้อต้านยาในระดับต่ำ ($4-8 \mu\text{g/mL}$) ระดับกลาง ($32-64 \mu\text{g/mL}$) และระดับสูง ($>128 \mu\text{g/mL}$) ซึ่งการต้านยานี้อาจพบร่วมกับความสามารถในการตัดแปลง lipid A อย่างไรก็ตาม เมื่อได้ทำการวิเคราะห์โครงสร้างของ lipid A พบร่วมกับความสามารถในการเปลี่ยนแปลงดังที่คาดการณ์ไว้คือการเติมหมู่ phosphoethanolamine เข้ากับโมเลกุลของ lipid A โดยที่เชื้อเหล่านี้ต้อง colistin ในระดับกลางเท่านั้น

ในต่างประเทศมีการรายงานว่าพบการกลยุทธ์ในกลุ่มยีน *pmrCAB* ในเชื้อ *A. baumannii* ที่ต้อง colistin โดยเฉพาะอย่างยิ่งในยีน *pmrB* ซึ่งมีผลต่อการตัดแปลงโครงสร้างของ lipid A อย่างไรก็ตาม เมื่อได้ทำการจำแนกในกลุ่มยีน *pmrCAB* ของเชื้อต้านยาที่พบในประเทศไทย พบร่วมกับจำนวนการกลยุทธ์ในกลุ่มยีนสูงกว่าที่เคยมีรายงานมา โดยสามารถจำแนกเชื้อต้านยาเป็นสองกลุ่มได้อย่างชัดเจนตามจำนวนเบสที่มีการกลยุทธ์ ดังแสดงในตารางที่ 3 แต่เป็นที่น่าสังเกตว่าการกลยุทธ์ในยีน *pmrB* ยังคงมีบทบาทมากที่สุดต่อระดับการต้านยา ดังจะพบร่วมกับการกลยุทธ์ที่ต่างกัน 1-2 ตำแหน่งใน *pmrB* ทำให้ค่า MIC ของ colistin ต่างกันหลายเท่าได้ นอกจากนั้นแล้วยังพบว่ากลุ่มที่มีค่า MIC สูง มีการแสดงออกของกลุ่มยีน *pmrCAB* มากขึ้น ซึ่งบ่งถึงการตัดแปลงโครงสร้างของ lipid A และ MIC ที่สูงขึ้นได้

แต่อย่างไรตาม ถึงแม้ว่าจะพบการกลยุพันธุ์ในยีน *pmrB* แต่ก็ไม่พบการดัดแปลงโครงสร้างของ lipid A โดยเฉพาะในสายพันธุ์ที่มีการดื้อยาในระดับสูง จึงทำให้สรุปได้ว่า การดัดแปลงโครงสร้างของ lipid A มีผลทำให้เชื้อดื้อยา colistin ได้จริง แต่การดื้อยา colistin ไม่จำเป็นต้องเกิดจากการดัดแปลงโครงสร้างของ lipid A แต่เพียงอย่างเดียว โดยเฉพาะอย่างยิ่งในสายพันธุ์ที่มีการดื้อยาในระดับต่ำ

การปรับตัวของเชื้อเป็นอีกกลไกหนึ่งที่ทำให้เชื้อดื้อยาได้นอกเหนือไปจากการกลยุพันธุ์ จากการทดลองโดยการเลี้ยงเชื้อ *A. baumannii* ในอาหารเลี้ยงเชื้อที่มียา colistin ในระดับต่ำกว่าค่า MIC จนไม่สามารถข้าเชื้อได้ ในกรณีนี้อาจจะทำหน้าที่เป็นตัวกระตุ้นให้เชื้อเกิดการดื้อยาขึ้นได้ ดังจะเป็นว่าเชื้อมี MIC ที่สูงขึ้น และจะลดลงเมื่อเลี้ยงในอาหารที่ไม่มียา จากการตรวจสอบลำดับเบสใน *pmrCAB* รวมถึงการวิเคราะห์โครงสร้างของ lipid A ไม่พบการเปลี่ยนแปลง จึงสามารถสรุปได้ว่าการเปลี่ยน MIC นั้นไม่ได้เกิดจากการกลยุพันธุ์ และไม่เกี่ยวกับการดัดแปลงโครงสร้างของ lipid A แต่อาจเกิดจากกลไกอื่น

สรุป

- 6.1. การระบาดของเชื้อ *A. baumannii* ในรพ.ศิริราชมีลักษณะเป็น clonal คือเป็นสายพันธุ์เดียว กันที่เป็นสายพันธุ์ประจำถิ่น
- 6.2. สายพันธุ์ประจำถิ่นดังกล่าวมีกลยุพันธุ์ในกลุ่มยีน *pmrCAB* ขึ้นเป็นสองกลุ่มอย่างเป็นเอกเทศซึ่งมีผลต่อระดับของการดื้อยา
- 6.3. การดัดแปลงโครงสร้างของ lipid A มีผลทำให้เชื้อดื้อยา colistin มากขึ้นแต่การดื้อยานั้นไม่จำเป็นต้องเกิดจากการดัดแปลงโครงสร้างของ lipid A แต่เพียงอย่างเดียว
- 6.4. การกลยุพันธุ์ในกลุ่มยีน *pmrCAB* มีจำนวนมากกว่าที่มีรายงานมา ซึ่งอาจเป็นผลจากการคัดเลือกสายพันธุ์ที่ดื้อยาจากการใช้ยาในปริมาณมากในโรงพยาบาล
- 6.5. การใช้ยา colistin ในระดับต่ำกว่าที่จะสามารถข้าเชื้อได้ นอกจากจะทำให้การรักษาไม่ได้ผล แล้วยังทำให้เชื้อยามากขึ้นอีกด้วย
- 6.6. การดื้อยา colistin ของ *A. baumannii* เป็นผลพวงจากการดื้อยาหลายกลไกซึ่งยังระบุไม่ได้ว่าเป็นกลไกใดบ้างที่นอกเหนือไปจากการดัดแปลงโครงสร้างของ lipid A

ข้อเสนอแนะสำหรับงานวิจัยในอนาคต

ควรจะต้องมุ่งเน้นในการระบุกลไกอื่นๆที่ใช้ในการดื้อยาโดยใช้แนวทางการวิจัยที่เป็น genomic มากขึ้น เช่น การทำ RNA-seq, Tn-seq หรือ whole genome sequencing เพื่อที่จะระบุยืนทั้งหมดที่อาจมีบทบาทในการทำให้เชื้อดื้อยา